

III-66 シラス斜面の安定性に関する一考察

宮崎大学工学部 正員 藤本 廉

1. まえがき

シラス層災害を調査してみて何時も痛感されることであるが、少なくとも土質力学の対象となりうるような非結晶シラスあるいは二次堆積のシラスに対しては、一口に侵食とか崩壊と言っても、そこに次のような二・三の問題点のあることが指摘される。その一は、斜面の被災が土質力学的な安定計算の適用が可能であるような崩壊によるものか、あるいは大規模な侵食とみなすべきか判断に迷うケースの多いことである。もう一は、崩壊によるものと判断される場合であっても、その解析に、例えば $H_c = 4Cs \sin\beta \cos\phi / \gamma_c [1 - \cos(\beta - \phi)]$ (1) (で表わされる限界安定高さの概念が全面的に適用できるようなケースは稀にしかない) ということである。著者の経験では、むしろ、写真-1に示したようなケースが多いことを指摘しておきたい。ところで、シラス斜面の限界安定高さについては、春山、山内がシラスのせん断抵抗特性に基づいて、(a)斜面の安定は荷重圧の関係から高さが増す程 C_d に依存する程度が常に依存する程度より大きくなり、(b)限界安定高さには静的条件下では引張り亀裂の影響は考えないが、動的には考慮する必要がある。そして、最終的に、(c)斜面が飽和すると中立応力の発生によって有効土かぶり圧が減少して C_d が小さくなつて不安定となる。と結論している。この考え方にはシラス斜面の乾燥時から飽和時への条件変動に伴う限界安定高さの変化を対象とされているものであるが、式(1)に依って論ずる限りは C_d の減少もしくは γ_c の斜面の飽和に伴う γ_c の増大も無視できない要因ではなかろうかと著者は考へている。一方、写真-1に見られるような例については、著者は以前に直立斜面の場合に対する計算法を提示したことがあるが、その後、このような崩壊は進行性破壊を考慮すべきではないか、という考へに到達したので、今回はその点についての考察結果を報告することにした。

2. 崩壊機構

写真-1に示したような崩壊は、図-1に示すように浸透水圧によって生じた法尻部の caving に起因するもの、あるいは斜面上部からの流下水や法線に沿った流水によって生じた法尻部の caving または侵食に起因するものなどが考えられる。浸透水圧による caving そのものについては、勾配 β の緩い築堤斜面に対して Dupuit-Forchheimer の式を基礎にして考察した久保田の考え方が一応適用できるよう。それによると、図-1のように、法尻側に滞留水がない場合の浸出面長 a は次式で表わされる。

$$a = h_a / \sin\beta, \quad h_a = \left(\frac{B}{m} + H \right) - \left[\left(\frac{B}{m} + H \right)^2 - h_1^2 \right]^{\frac{1}{2}}, \quad m = \cot\beta \quad \dots (2)$$

浸出面 C における浸透圧力とその奥における上のせん断抵抗との関係から求められた斜面が安定を保ちうる限界動水勾配 i_c は次式で与えられている。 $i_c = -\frac{\partial \phi}{\partial w} (\tan\beta - \tan\phi) \cos\beta + \frac{C}{\partial w} \quad \dots (3)$



写真-1

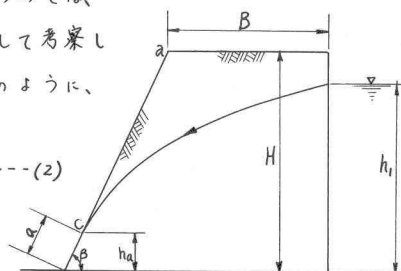


図-1.

上式で、 γ_b は土の水浸重量、 γ_w は水の密度、 C と ϕ は土の強度定数である。ここで、式(2)を切取斜面に拡大適用するにはBの取り方に問題がある。(3)式については、 $\beta < 90^\circ$ みるにものよる採用しうるようであるが、Cと ϕ の取り方に文献1)で考慮されている実を反映すべきであろう。

ところで、本文では、問題が斜面法尻にcavingが生じた後の安定性という点にあるので、上述の問題点は一応置いて、こではcavingが生じた後の崩壊機構について考えてみる。いま、問題を簡単にするために、bを中心にして浸出面長 $BC=a$ を半径とする扇形 bcd の領域が浸透圧によって洗掘されたとする。その後は砂質土としてシラスのせん断抵抗特性から考えて、例えばdを通る鉛直線 Y に接する円弧 $C'd$ (中心 O')では引張りに対する抵抗は殆どゼロとなりがちなので、その円弧内のシラスは自重によって逐次崩落する事が予想される。このように考えると、すべり面を円弧と仮定する限り、それへ沿ってせん断抵抗がmobilizeされる円弧は図2に示すようにdを通る鉛直線とintersectするような円弧(例えば $C_2'fd$; 中心 O_2)となる。この場合、せん断抵抗のmobilizeされる区间は O_2 となり、弧 $C_2'f$ は引張り亀裂の領域となり差支えあるまい。かくして、崩壊は進行性破壊の様相を呈して順次斜面上方へと進行してゆき、最終的に円弧に沿うすべり面の安全率 F_s が1となったところで崩壊が停止すると考えるのである。

3. 安定計算式

図-3で中心 O_2 の円弧 $C_2'f$ を引張亀裂と見ると場合、弓形 $C_2'f\bar{f}_2$ のシラスの重量を W_2 とすれば、 W_2 に起因するすべりに対する安全率 F_s は

$$F_s = \left(C \frac{\pi R_2}{80} \frac{R_2}{2} + W_2 \cos \delta \tan \phi \right) / W_2 \sin \delta, \quad W_2 = \frac{4}{3} R_2^2 (1 - \cos \frac{\theta_2'}{2}) \sin \frac{\theta_2'}{2} \cdot \tan \phi \quad \dots \dots \dots \quad (4)$$

で示される。すなわち、この方法で計算した F_s が1となる円弧で崩壊が最終的に止まると考える訳である。この場合、進行性破壊ということを考慮して、上式中のCと ϕ はせん断試験(排水⁴⁾または間隙圧計測を伴なう非排水)で求められる残角強度から計算した値を採用すべきであろう。

計算例と実測値との比較は当別報告する。

参考文献

- 1) 春山、山内：土粒子のインターロッキングを考慮したシラス層の直立斜面の安定について、九大工学集報、Vol.40, No.3, 昭和42年6月。
- 2) 藤本：シラス層の安定性Kについて、昭和41年度土木学会西部支部研究発表会論文集、昭和42年1月。
- 3) 久保田：浸透水流による集塊斜面の安定性Kについて、土木学会誌、Vol.41, No.3, 昭和31年3月。
- 4) 藤本、他：粒子形状を考慮に入れた砂のゲリヤフレー効果Kについて(乱れ粒子のせん断特性、考察)、第回地盤工学研究発表会講演集4年9月。

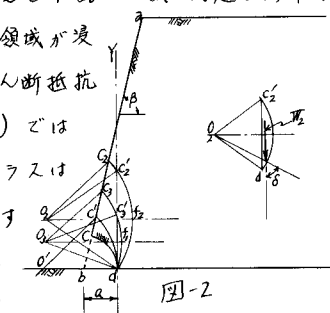


図-2

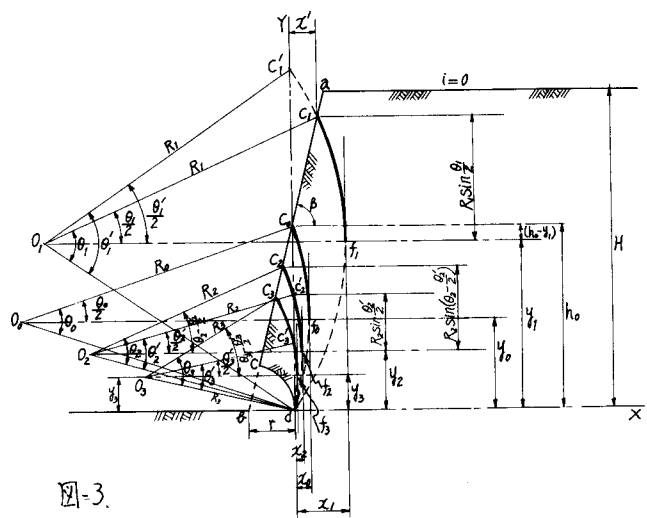


図-3